

СООБЩЕНИЯ  
ОБЪЕДИНЕННОГО  
ИНСТИТУТА  
ЯДЕРНЫХ  
ИССЛЕДОВАНИЙ  
ДУБНА

Д 465

P11-88-876

С.Н.Димова, М.С.Касчиев

ЧИСЛЕННЫЙ АНАЛИЗ ДВУМЕРНЫХ  
СОБСТВЕННЫХ ФУНКЦИЙ ГОРЕНИЯ  
НЕЛИНЕЙНОЙ АНИЗОТРОПНОЙ СРЕДЫ

1988

## 1. Постановка задачи

В последнее время интенсивно изучаются нестационарные диссипативные структуры, возникающие в нелинейной теплопроводной среде из-за режима с обострением [1]–[10]. В этих исследованиях особое место занимает определение собственных функций ( $\Phi$ ) горения нелинейной среды, описываемой уравнением

$$u_t = \sum_{i=1}^2 (u^{\sigma_i} u_{x_i})_{x_i} + u^\beta, \quad t > 0, \quad x = (x_1, x_2) \in \mathbb{R}^2, \quad (1)$$

$$\sigma_1 > 0, \quad \sigma_2 > 0, \quad \beta > 1.$$

Неограниченные автомодельные решения  $u(t, x)$  уравнения (1) имеют вид [3], [6], [10]:

$$u_A = (1 - t / T_0)^{-\frac{1}{\beta-1}} \Theta(\xi), \quad (2)$$

где

$$\xi_i = x_i (1 - t / T_0)^{-\tilde{m}_i}, \quad \tilde{m}_i = \frac{\beta - \sigma_i - 1}{2(\beta - 1)}, \quad i = 1, 2.$$

Без ограничения общности положим

$$T_0 = 1 / (\beta - 1), \quad m_i = (\beta - 1) \tilde{m}_i, \quad i = 1, 2.$$

Подставляя представление (2) в уравнение (1), получаем, что функция  $\Theta(\xi)$  удовлетворяет уравнению

$$L\Theta \equiv \sum_{i=1}^2 \left\{ -\frac{\partial}{\partial \xi_i} \left( \Theta^{\sigma_i} \frac{\partial \Theta}{\partial \xi_i} \right) + m_i \xi_i \frac{\partial \Theta}{\partial \xi_i} \right\} + \Theta - \Theta^\beta = 0. \quad (3)$$

Нетривиальные решения  $\Theta(\xi) \neq 1, 0$  уравнения (3) называются  $\Phi$  горения нелинейной среды [2].

Ищем решения  $\Theta(\xi) \geq 0$ , которые при любых значениях параметров  $\sigma_1, \sigma_2$  и  $\beta$  удовлетворяют условиям симметрии:

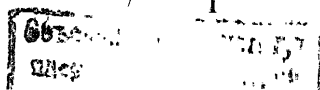
$$\frac{\partial \Theta}{\partial \xi_1} \Big|_{\xi_1=0} = 0, \quad \frac{\partial \Theta}{\partial \xi_2} \Big|_{\xi_2=0} = 0, \quad (4)$$

и условиям на бесконечности:

$$\Theta(\xi) \rightarrow 0, \quad |\nabla \Theta(\xi)| \rightarrow 0, \quad |\xi| \rightarrow \infty. \quad (5)$$

Пусть заданы значения параметров  $\sigma_1, \sigma_2$  и  $\beta$ . По аналогии с одномерным случаем рассматриваем следующие три типа соотношений в направлении  $\xi_i, i = 1, 2$ :

1.  $\beta = \sigma_i + 1 - S$  – режим с обострением;
2.  $\beta < \sigma_i + 1 - HS$  – режим с обострением;
3.  $\beta > \sigma_i + 1 - LS$  – режим с обострением.



Качественное поведение СФ в каждом из этих режимов подробно исследовано в работах [1]–[5]. На основании этих исследований поставим граничные условия

$$\Theta(\xi) = 0, \quad \xi_i = l_i \gg 1, \quad i = 1, 2, \quad (6)$$

если в направлении  $\xi_i$  осуществляется S- или HS-режим с обострением. Выбор величин  $l_i$  обсуждается в п.2. Пусть в направлении  $\xi_i$  имеем LS-режим. Известна [1] асимптотика СФ  $\Theta(\xi)$ :

$$\Theta(\xi) = C_A \xi_i^{-1/m_i}, \quad \xi_i \rightarrow \infty, \quad C_A = \text{const}. \quad (7)$$

На основании этого при больших значениях переменной  $\xi_i$  можно поставить граничное условие третьего рода

$$\frac{\partial \Theta}{\partial \xi_i} = -m_i \frac{\Theta}{\xi_i}, \quad \xi_i = l_i \gg 1, \quad i = 1, 2. \quad (8)$$

Величины  $l_i$  в этом случае выбираются из условия выхода решения на асимптотику (7) в направлении  $\xi_i$ .

Таким образом, необходимо найти нетривиальное решение  $\Theta(\xi)$  уравнения (3) в области  $\Omega = \{(\xi_1, \xi_2), 0 < \xi_1 < l_1, 0 < \xi_2 < l_2\}$ , удовлетворяющее крайним условиям (4) и условиям (6) или (8) в зависимости от соотношений между параметрами  $\sigma_1, \sigma_2$  и  $\beta$ .

Цель работы состоит в разработке устойчивого численного метода решения сформулированной задачи. Отметим, что для вычисления одномерных СФ выполнено большое число работ (см. [1]–[5] и списки литературы в них), в которых предложены самые разнообразные численные методы. В то же время численные исследования двумерных СФ проведены только для изотропного случая ( $\sigma_1 = \sigma_2$ ) [7], [8]. Анизотропному случаю посвящены работы [9], [10], в которых численно решалось уравнение (1), и из автоматической обработки [9], [1] полученного решения определялась СФ  $\Theta(\xi)$ . В этой связи разработка новых методов численного решения задачи (3)–(5) для произвольных допустимых значений параметров  $\sigma_1, \sigma_2$  и  $\beta$  является весьма актуальной задачей.

Ниже используем введенную в [9], [10] терминологию для случая, когда в направлениях  $\xi_i, i = 1, 2$ , имеются различные режимы. Например, если  $\beta = \sigma_1 + 1, \beta < \sigma_2 + 1$ , будем говорить о S-HS-режиме, и т.д.

## 2. Метод численного решения

Предлагаемый метод основан на использовании непрерывного аналога метода Ньютона (НАМН) [11], [12] с последующим решением эволюционного уравнения НАМН по методу конечных элементов (МКЭ) [13]. Ранее такой подход был применен для вычисления СФ в радиально-симметричном случае [5]. На основании полученных результатов удалось уточнить структуру СФ LS-режима и численно получить СФ новой структуры.

Введем непрерывный параметр  $0 \leq t < \infty$ . Эволюционное уравнение НАМН имеет вид [12]

$$L'[\Theta(\xi, t)]V(\xi, t) + L\Theta(\xi, t) = 0, \quad v = \frac{\partial \Theta(\xi, t)}{\partial t}, \quad (9)$$

$$\Theta(\xi, 0) = \Theta_0(\xi), \quad (\xi_1, \xi_2) \in \Omega = \{0 \leq \xi_i \leq l_i, i = 1, 2\}.$$

Здесь  $\Theta_0(\xi)$  – заданная функция,  $L'$  – производная Фреше оператора  $L$ , вычисленная в точке  $\Theta(\xi, t)$ . Применяя метод Эйлера, из (9) получаем итерационную схему

$$L'[\Theta_k(\xi)]v_k(\xi) = -L\Theta_k(\xi), \quad (10)$$

$$\Theta_{k+1} = \Theta_k + \tau_k v_k, \quad (11)$$

$0 < \tau_k \leq 1$  – шаг итерационного процесса (10)–(11). Пусть функция  $\Theta_0(\xi)$  (начальное приближение) удовлетворяет граничным условиям (4), (6), (8). Легко проверить, что итерационные поправки  $v_k$  удовлетворяют тем же самым крайним условиям.

Численное решение уравнения (10) проводится МКЭ на основе формулировки Галеркина.

Введем следующие обозначения:  $\Gamma_1 = \{0 \leq \xi_1 \leq l_1, \xi_2 = l_2\}$ ,  $\Gamma_2 = \{\xi_1 = l_1, 0 \leq \xi_2 \leq l_2\}$ ,  $D = \{\Theta(\xi) : \Theta, \partial \Theta^{\sigma_i+1} / \partial \xi_i \in L_2(\Omega)\}$ ,  $H_2^1 = \{w : w, \partial w / \partial \xi_i \in L_2(\Omega), \alpha_i w(\xi) = 0, \xi \in \Gamma_i, i = 1, 2\}$ , где  $\alpha_i = 1$  для случаев S- и HS-режимов и  $\alpha_i = 0$  для LS-режима.

Сформулируем постановку Галеркина: для заданной функции  $\Theta_k \in D$  необходимо найти функцию  $v_k \in H_2^1$ , удовлетворяющую интегральному тождеству

$$(L'(\Theta_k)v_k, w) = -(L\Theta_k, w), \quad \forall w \in H_2^1(\Omega). \quad (12)$$

Выражения для левой и правой частей с учетом граничных условий (4), (6), (8) имеют вид (индекс  $k$  будем опускать):

$$\begin{aligned} (L'(\theta)v, w) &= \int_{\Omega} \left\{ \sum_{i=1}^2 \left[ \theta^{\sigma_i} \frac{\partial v}{\partial \xi_i} \frac{\partial w}{\partial \xi_i} + m_i \xi_i w \frac{\partial v}{\partial \xi_i} + \right. \right. \\ &\quad \left. \left. + \sigma_i \theta^{\sigma_i-1} v \frac{\partial \theta}{\partial \xi_i} \frac{\partial w}{\partial \xi_i} \right] + (1-\beta \theta^{\beta-1})vw \right\} d\xi_1 d\xi_2 + \\ &\quad + \sum_{i=1}^2 (1-\alpha_i) \int_{\Gamma_i} (m_i \theta^{\sigma_i} \xi_i^{-1} - \sigma_i \theta^{\sigma_i-1} \frac{\partial \theta}{\partial \xi_i}) vw d\xi_i, \\ (L\theta, w) &= \int_{\Omega} \left\{ \left[ \sum_{i=1}^2 \theta^{\sigma_i} \frac{\partial \theta}{\partial \xi_i} \frac{\partial w}{\partial \xi_i} + m_i \xi_i w \frac{\partial \theta}{\partial \xi_i} \right] + (1-\theta^{\beta-1})\theta w \right\} d\xi_1 d\xi_2 + \\ &\quad + \sum_{i=1}^2 (1-\alpha_i) \int_{\Gamma_i} m_i \theta^{\sigma_i} \xi_i^{-1} \theta w d\xi_i. \end{aligned}$$

Дискретизацию интегрального тождества (12) проводим по МКЭ. В работе используются восьмиузловые изопараметрические конечные элементы. Конечноеэлементная сетка строится при помощи базисного обеспечения пакета программ MULTIMODE [14]. При вычислении нелинейных коэффициентов уравнения (12) применяются аппроксимации

$$\theta^{\nu} = \sum_{j=1}^8 \theta_j^{\nu} h_j(\tau, s), \quad \nu = \sigma_1, \sigma_2, \sigma_1-1, \sigma_2-1, \beta, \beta-1,$$

где  $h_j(\tau, s)$ ,  $j = 1, \dots, 8$ ,  $-1 \leq \tau, s \leq 1$  - изопараметрические базисные функции, а через  $\theta_j^{\nu}$  обозначены значения функции  $\theta$  в узлах соответствующего элемента.

В результате дискретизации приходим к решению на каждом шаге итерационного процесса (10)-(11) системы линейных уравнений

$$AV = F \quad (13)$$

с несимметричной матрицей  $A$ , где  $V^T = (v_1, \dots, v_n)$  - вектор итерационных поправок,  $n$  - число узлов конечноэлементной сетки. Решение системы (13) осуществляется путем разложения матрицы  $A$  в виде

$$A = LU, \quad (14)$$

где  $L$  - нижняя треугольная матрица с единицами на диагонали,  $U$  - верхняя треугольная матрица. Отметим, что при программной реализации разложения (14) в памяти ЭВМ хранятся верхний и нижний профили матрицы  $A$ . Такая организация вычислений обеспечивает значительную экономию ресурсов ЭВМ. Итерационный шаг  $\tau_k$  определяется в процессе вычислений по экстраполяционной формуле [15] (см. также [5], стр.8).

Одним из основных этапов при реализации предложенного метода является определение начального приближения  $\theta_c$  для искомой функции  $\theta$ .

В случае  $S^-$ ,  $HS^-$  или  $S^-HS^-$  режимов начальное приближение определяется на основе исследований СФ в радиально-симметричном случае [1], [5]. Положим  $\sigma = \min(\sigma_1, \sigma_2)$ ,  $\rho = (\xi_1^2 + \xi_2^2)^{1/2}$ . Значение  $l = l_1 = l_2$  в формулах (5) определим из соотношения  $l_0 = \frac{\pi}{\sigma}(\sigma+1+1.34\frac{\sigma}{\pi})^{1/2}$ ,  $l = l_0 + 2$ , а функцию  $\theta_c$  зададим следующим образом:

$$\theta_c(\xi) = \begin{cases} A \cos^2(\pi \rho / 2l_0), & \rho \leq l_0, A = \text{const}, \\ 0, & \rho \geq l_0, \xi_1 \leq l_1, \xi_2 \leq l_2. \end{cases}$$

Начальное приближение для функции  $\theta$  в случае  $LS$ -режима задается на основе разработанной в работах [7], [8] техники "сшивания" решений линеаризованного около гомотермического решения уравнения (3) с асимптотикой (7).

Как и в изотропном случае, уравнение (3) допускает одномерные решения  $\theta(\xi_i)$ , а линеаризованное около  $\theta \equiv 1$  уравнение (3) - разделение переменных  $\xi_1$  и  $\xi_2$ . Поэтому предложенный в [7], [8] способ конструирования линейных приближений к СФ изотропного  $LS$ -режима - раздельное сшивание по  $\xi_1$  и  $\xi_2$  - применим и для анизотропного  $LS$ -режима ( $\beta > \sigma_k + 1$ ,  $k = 1, 2$ ). Этим способом получаем класс линейных приближений, который по аналогии с изотропным случаем обозначаем через  $Ei/j$ :

$$\tilde{\theta}_{ij}(\xi_1, \xi_2) = f_i^{(1)}(\xi_1) f_j^{(2)}(\xi_2), \quad i=1, \dots, K_1, j=1, \dots, K_2, i \leq j, \quad (15)$$

$$f_i^{(k)}(\xi_k) = \begin{cases} 1 + \alpha_i^{(k)} y_k(\xi_k), & 0 \leq \xi_k \leq \xi_{k,i}, \\ C_i^{(k)} \xi_k^{-1/m_i}, & \xi_k \geq \xi_{k,i}, i=1, \dots, K_k, \end{cases} \quad (16)$$

$$y_k(\xi_k) = F\left(-\frac{\beta-1}{\beta-\sigma_k-1}, \frac{1}{2}, \frac{\beta-\sigma_k-1}{4} \xi_k^2\right), \quad k=1, 2, \quad (17)$$

где  $F(a, b; z)$  - вырожденная гипергеометрическая функция, а  $K_k$  - число нулей уравнения  $y_k(\xi) = 0$ . Константы  $\alpha_i^{(k)}$ ,  $C_i^{(k)}$  и точки сшивания  $\xi_{k,i}$  определяются из условий  $f_i^{(k)}(\xi) \in C^2[0, l_k]$  или  $f_i^{(k)}(\xi) \in C^1[0, l_k]$ . Число  $K$  различных приближений (15) класса  $Ei/j$  дается формулой  $K = K(K_1, K_2) = K_1(2K_2 - K_1 + 1)/2$  ( $K_1 \leq K_2$ ).

В случаях  $LS-S^-$  и  $LS-HS^-$  режимов мы пользуемся начальными приближениями

$$\tilde{\theta}_i(\xi_1, \xi_2) = f_i^{(1)}(\xi_1) g(\xi_2), \quad i=1, 2, \dots, K_1, \quad (18)$$

где  $f_i^{(n)}(\xi_1)$  дается формулами (I6), (I7), а

$$g(\eta) = \begin{cases} A \cos^2(\pi \xi / 2 \xi_0) & , 0 \leq \xi \leq \xi_0, \\ 0 & , \xi_0 \leq \xi \leq \xi_2, \end{cases}$$

$$\xi_0 = \pi \sqrt{\sigma_2 + 1 + 1.84 \sigma_2 / \pi} / \sigma.$$

Приближения (I8) обозначаем через  $E_i / S (E_i / HS)$  в случае LS-S- (LS-HS) -режима.

### 3. Численные исследования и результаты

На этапе апробации и тестирования метода были проведены численные эксперименты для установления точности приближенного решения и скорости сходимости метода.

Пусть имеется изотропная среда ( $\sigma_1 = \sigma_2 = \sigma$ ). В случае S- и HS-режимов решение соответствующей двумерной задачи должно совпадать с цилиндрически-симметричной одномерной СФ с теми же параметрами. В таблице приведены результаты вычислений СФ S- и HS-режимов по обоим способам. В левой части таблицы показаны результаты вычисления для цилиндрически-симметричной одномерной СФ, а в правой - для двумерной СФ. Переменные  $n$  и  $n_e$  обозначают число узлов и число элементов соответствующих сеток, а  $\xi_0$  - значение аргумента  $\xi$ , при котором  $\theta(\xi) = 0$ ,  $\xi > \xi_0$  ( $\theta(\xi_1, \xi_2) = 0$ ,  $\rho \geq \xi_0$ ).

Таблица

$\beta = 3, \sigma_1 = \sigma_2 = \sigma = 2$ (S-режим)							
$n$	$n_e$	$\theta(0)$	$\xi_0$	$n$	$n_e$	$\theta(0,0)$	$\xi_0$
51	25	1,463540	3,07	382	115	1,462850	3,09
$\beta = 2.75, \sigma_1 = \sigma_2 = \sigma = 2$ (HS-режим)							
51	25	1,604909	2,88	382	115	1,604620	2,87

При вычислениях использованы значения  $l_1 = l_2 = l = 6$ . В работе [5] численным экспериментом было показано, что при использованных там квадратичных элементах точность метода есть  $O(h^4)$  в узлах разбиения (имеет место сверхсходимость МКЭ в этих узлах). Полученные здесь результаты указывают на высокую точность численного решения и в двумерном случае и подтверждают надежность и устойчивость предложенного метода. Для достижения критерия прекращения итераций (норма невязки меньше  $10^{-5}$ ) были необходимы 13-16 итераций.

Особый интерес представляет решение задачи (3)-(5) при  $\sigma_1 \neq \sigma_2$ , анизотропный случай. На рис. I показаны полученное решение при значе-

HS-S: 3, 2, 3

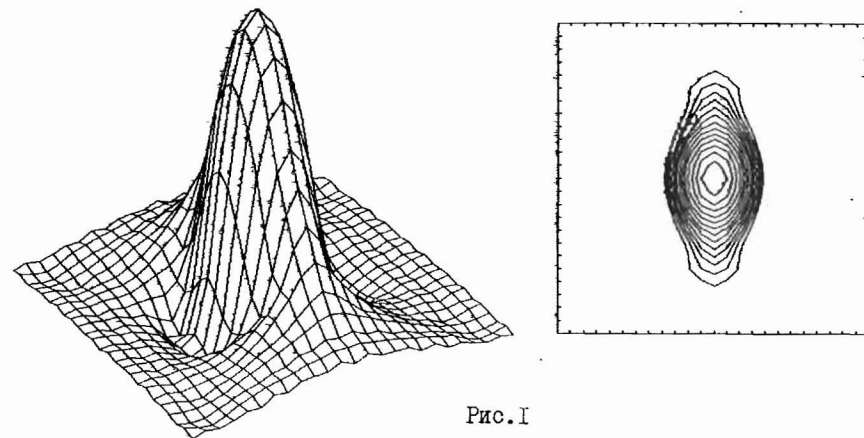


Рис. I

LS-S: 2, 2.5, 3.5 (E1/S)

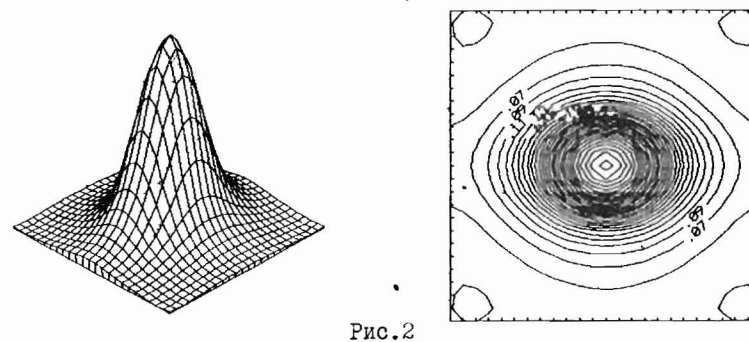


Рис. 2

LS-LS: 2, 2, 3.5 (E3/3)

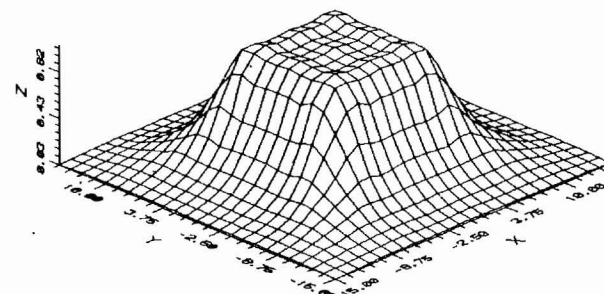


Рис. 3

ниях параметров  $\sigma_1 = 3, \sigma_2 = 2, \beta = 3$  (HS-S'-режим) и его линии уровня. Численные значения функции  $\Theta(\xi)$  с точностью  $10^{-3}$  совпадают с результатами работы [97].

Решение  $\Theta(\xi)$  класса E1/S и его линии уровня для  $\sigma_1 = 2, \sigma_2 = 2,5, \beta = 3,5$  (LS-S-режим) приведены на рис.2. Видно, что в направлении  $\xi_2$  функция  $\Theta(\xi)$  обращается в нуль для конечного значения  $\xi = \xi_0$ , а в направлении  $\xi_1$  она имеет бесконечный носитель.

Решение класса E3/3 при  $\sigma_1 = 2, \sigma_2 = 2, \beta = 3,5$  (LS-LS-режим), показанное на рис.3, соответствует структуре с 9 максимумами.

### Заключение

Разработан новый подход к вычислению двумерных СФ горения нелинейной диссипативной среды. Полученные на его основе вычислительные схемы позволяют определять эти СФ как для изотропной, так и для анизотропной среды, что является принципиально новым шагом при исследовании рассматриваемой задачи.

Проведенные численные эксперименты подтверждают высокую точность метода, устойчивость итерационного процесса и довольно слабую зависимость его сходимости от начального приближения. Эти обстоятельства позволяют применять разработанные схемы и соответствующее программное обеспечение для более прецизионного исследования двумерных СФ горения нелинейной среды.

Авторы глубоко благодарны С.П.Курдюмову, В.А.Галактионову, Ю.П.Попову и А.Б.Потапову за плодотворные дискуссии при выполнении этой работы.

### Литература

1. Самарский А.А., Галактионов В.А., Курдюмов П.С., Михайлов А.П. Режимы с обострением в задачах для квазилинейных параболических уравнений. М.: Наука, 1987.
2. Курдюмов П.С. Собственные функции горения нелинейной среды и конструктивные законы построения ее организации. - В кн.: Современные проблемы математической физики и вычислительной математики. М.: Наука, 1983, с.217-243.
3. Галактионов В.А. и др. Квазилинейное уравнение теплопроводности с источником: обострение, локализация, симметрия, точные решения, асимптотики, структуры. Совр.пробл.матем. Новейшие достижения. Т.28. ВИНТИ АН СССР, М., 1986, 95-206.

4. Еленин Г.Г., Курдюмов С.П. Условия усложнения организации нелинейной диссипативной среды. Препринт ИММатем. АН СССР, М., № 106, 1977.
5. Димова С.Н., Касчиев М.С., Курдюмов С.П. Численный анализ одномерных собственных функций горения нелинейной среды. Препринты ОИЯИ РИИ-88-473, РИИ-88-831, Дубна, 1988.
6. Дородницын В.А., Князева И.В., Свищевский С.Р. Групповые свойства уравнения теплопроводности с источником в двумерном и трехмерном случаях. Дифференц.уравнения, 1983, т.19, № 7, с.1215-1223.
7. Курдюмов П.С., Куркина Е.С., Потапов А.Б., Самарский А.А. Архитектура многомерных тепловых структур. ДАН СССР, т.274, № 5, 1984, с.1072.
8. Курдюмов С.П., Куркина Е.С., Потапов А.Б., Самарский А.А. Сложные многомерные структуры горения нелинейной среды. ЖВМ и МФ, т.26, № 8, 1986, с.1189.
9. Бакирова М.И., Борлукова С.Н., Дородницын В.А., Свищевский С.Р. О направленном распространении тепла в нелинейной анизотропной среде. Препринт ИММатем. АН СССР, М., № 182, 1985.
10. Бакирова М.И., Димова С.Н. и др. Инвариантные решения уравнений теплопроводности, описывающие направленное распространение горения и спиральные волны в нелинейной среде. Докл.АН СССР, 1988, 299, № 2, с.346-350.
11. Габурин М.К. Нелинейные функциональные уравнения и непрерывные аналоги итеративных методов. Изв.ВУЗов, сер.матем., № 5(6), 1958, с.18.
12. Жидков Е.П., Макаренко Г.И., Пузынин И.В. Непрерывный аналог метода Ньютона в нелинейных задачах физики. ЭЧАЯ, 4, в.1, 1973, с.123.
13. Стренг Г., Фикс Дж. Теория метода конечных элементов. М.: Мир, 1977.
14. Гусев В.В., Касчиев М.С., Пузынин И.В. Автоматическая генерация сетки в пакете программ MULTIMODE. Препринт ОИЯИ РИИ-87-421, Дубна, 1987.
15. Пузынин И.В., Пузынина В.А. В сб.: Алгоритмы и программы решения некоторых задач физики. КФКИ-74-34, Будапешт, 1974, с.93.

Рукопись поступила в издательский отдел  
20 декабря 1988 года.